

死亡陷阱～流沙

高中組地球科學科第二名

省立台南女子高級中學

作　　者：許曄琳、謝佩含、邱靖巧
指導教師：王世芳、許家禎

一、研究動機

科幻小說與電影往往將流沙形容成妖怪，且一般人由於對它無所認識，於是有了死亡陷阱之印象。流沙為自然現象之一，究竟它是如何構成，為何如此為人所懼，我們的研究動機由此而來[1]。

二、研究目的

在此實驗中，將藉著模型，推測流沙之成因，並探討：

1. 流沙之室內模擬。
2. 使整個容器成為流沙之模擬。
3. 流沙與水流速度的關係。
4. 流沙與沙土顆粒大小之關係。

三、研究設備與器材

1. 容器：小型整理箱長28.4公分，寬18.4公分，高16公分
2. 透明水管：4條
3. 碼表：一只
4. 沙：
 - i. 一般常見黃沙—取自校園，經過篩濾雜質而得，篩孔網徑0.59公釐
 - ii. 海沙—取自黃金海岸，篩孔網徑0.67公釐
 - iii. 石英砂—借自成大實驗室。篩孔網徑0.60公釐
5. 小人玩偶：4個（加上黏土以增加重量）
6. 油土：3包
7. 不織布：1塊（用以阻擋沙粒回流堵住出水口）
8. 保麗龍：厚2.45公分，1片
9. 空礦泉水瓶1500毫升：2個

四、研究過程及方法

實驗一：室內流沙之模擬（如圖1）

1. 在小整理箱下方鑽孔一個。
2. 以一小塊不織布蓋住水管一端，將包著不織布的那一端透明水管插入孔內。
3. 水管另一端則接保特瓶，以適量油土裹住外圍，使不漏水。
4. 將黃沙填至14公分高，並於沙層面上之容器壁鑽孔，以排出多餘之水。
5. 實驗時，以管夾之鬆緊程度控制水流大小。
6. 將保特瓶固定，並將其內部水位調高至一定高度。
7. 瞬間鬆開水管，以產生水流。
8. 於出水孔正上方、旁邊，分別站上小人玩偶，觀察小人玩偶是否下沉。

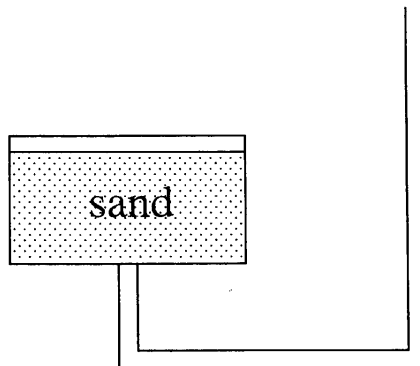


圖1：實驗一之裝置示意圖

實驗二：擴大的流沙現象之模擬

1. 在小整理箱下方偏一側鑽孔一個。
2. 以一小塊不織布蓋住水管一端，將其插入孔內。
3. 另一端則接至保特瓶，以適量油土裹往外圍，使不漏水。
4. 另將一塊保麗龍板，裁成適合容器的大小。並在保麗龍塊上截出12孔，蓋上不織布然後將其壓入箱中，使其與箱底相差約2公分，與容器間的孔隙以油土填滿，於保麗龍板上方，裝入黃沙。
5. 將保特瓶固定，並將其內部水位調至一定高度。
6. 實驗時，以管夾鬆緊程度控制水流。

7. 瞬間鬆開水管，以產生水流。
8. 於許多點分別站上小人玩偶，觀察小人玩偶是否下沉。

實驗三：水位差與流沙現象之關係

1. 為了測量方便，我們將出水口改設在箱壁側面。
2. 測出黃沙之比重 G_s ，及沙體浸水密度 r_{sub} 。
3. 重複實驗一，並分別調整水位差高度，瞬間鬆開水管，以產生水流，並隨時添水，保持相同高度。
4. 測出在一定時間內由於水位高度差所產生之水流，所形成之流沙現象，以探討水位差與有效應力之關係。以沙子下陷後之深度 h' 為表示方法。
5. 推測若『高度差愈大，則 h' 也愈大』是否正確。

實驗四：

1. 將箱內沙改為海沙，測出海沙之比重 G_s 及沙體浸水單位重 r_{sub} 。
2. 重複實驗一（步驟1~7）、實驗三（步驟3~4）。
3. 再將箱內沙改為石英沙，測出石英沙之比重 G_s 及沙體浸水單位重 r_{sub} 。
4. 重複實驗一（步驟1~7）、實驗三（步驟3~4）。
5. 推測若『高度差愈大，則 h' 也愈大』是否正確。
6. 以實驗四之結果與實驗三比較。

五、研究結果

觀察一

在水流出口之上方，才會產生流沙現象。

當水流逐漸使整個沙體飽和後，輕拍沙體，在水流出口之上方，發現沙有向下形成凹陷之現象。若分別在正中央與另一處站上小人玩偶，則發現只有正中央的小人玩偶下陷。但因出水孔徑較小，使得流沙現象範圍也小，因小人玩偶尺寸只比流沙範圍略小，故難以完全陷入。

觀察二

此項實驗裝置，使得水流進入容器後，並不馬上進入沙層，而上升至一定高度，方一起滲入。由於保麗龍隔板上出水孔較實驗一所用者多，故多數地方皆有流沙現象。使小人玩偶立於保麗龍有孔處之上方，發現小人玩偶下陷之地點較實驗一者多。

觀察三：（如圖2）

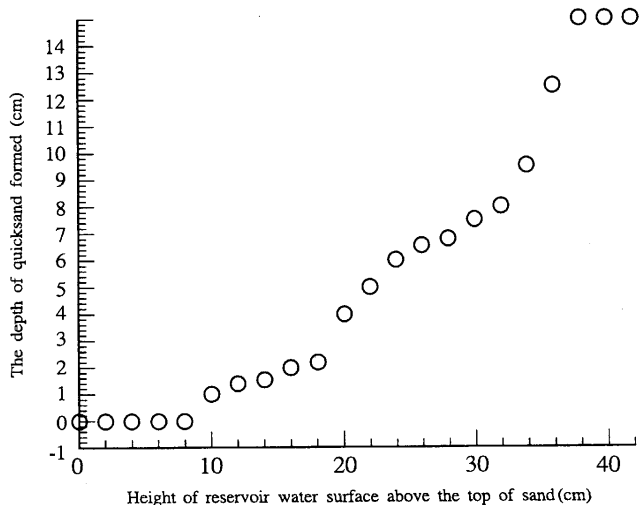


圖2：流沙形成深度與水位差之關係

1. 測出沙體之比重 G_s 。

$$G_s = \frac{W_s}{V_s} = \frac{W_s * G_T}{W_s - W'_s} \quad (1)$$

上式中， W_s 為乾沙之淨重， V_s 為乾沙之靜體積， W'_s 為乾沙在水中重， G_T 為當時溫度下，蒸餾水之比重。

- i. 以彈簧秤秤出乾沙重 $W_s=140$ 克重。
- ii. 以彈簧秤秤出乾沙在水中重 $W'_s=82$ 克重。
- iii. 將 W_s 與 W'_s 代入(1)式得 $G_s=2.43$ 。

2. 再測出土壤含水比 w , $W=\frac{W_w}{W_s}$ (W_w 為土壤中所含水之淨重)

- i. 測得 $W_s + W_w = 190$ 克重，因 $W_s = 140$ 克重，故 $W_w = 50$ 克重。
- ii. 所以 $w = \frac{190-140}{140} * 100\% = 37.5\%$

3. 測出沙體浸水比重 I_{sub} 。

- i. 又 $w = \frac{S * e}{G_s}$ 。（而 e 為孔隙比， S 為水之飽和度）

由於土體飽含水份，可令 $S=1$ ，

- ii. 所以孔隙比 $e = 0.375 * 2.43 = 0.874$

$$I_{sub} = \frac{G_s - 1}{1 + e} * I_w$$

$$\text{故 } I_{sub} = \frac{2.43 - 1}{1 + 0.87} = 0.91$$

- 4.由表1得知，當水位差為10公分時，才形成流沙現象。
- 5.當水位差為0~10公分時，沙體無動靜。
- 6.當水位差接近9.95公分時，流沙現象不明顯。
- 7.而當水位差逐漸增大時，則沙面擾動亦相對增大。當水位差 $h \geq 36$ 公分時，則沙體擾動浮至表面（如圖14）。此時若伸手觸探流沙下，可知其下至底全空（如圖15），沙粒甚稀，唯有水流。物體在此種狀況下下沉相當快。
- 8.當水位差愈大，沙面擾動愈大。

觀察四：（如圖3、圖4）

1.方法與實驗三同。海沙：得

$$\text{i. } G_s = \frac{140}{(140-70.3)} = 2.01$$

$$\text{ii. } w = \frac{180.6 - 160}{160} * 100\% = 29\%$$

$$\text{iii. } e = 2.01 * 0.29 = 0.58$$

$$\text{iv. } I_{sub} = \frac{1.01}{1.58} = 0.63$$

石英沙：

$$\text{i. } G_s = \frac{140}{(140-76.9)} = 2.22$$

$$\text{ii. } w = \frac{173 - 140}{140} * 100\% = 24\%$$

$$\text{iii. } e = 2.22 * 0.24 = 0.53$$

$$\text{iv. } I_{sub} = \frac{1.22}{1.53} = 0.79$$

2.由表2可知，大約水位差在8公分時，始有流沙現象。

由表3可知，大約水位差在10公分時，始有流沙現象。

3.海沙：當水位差為0~8公分時，沙體無動靜。

石英沙：當水位差為0~10公分時，沙體無動靜。

4.海沙：當水位差接近8公分時，流沙現象不明顯。

石英沙：當水位差接近10公分時，流沙現象不明顯。

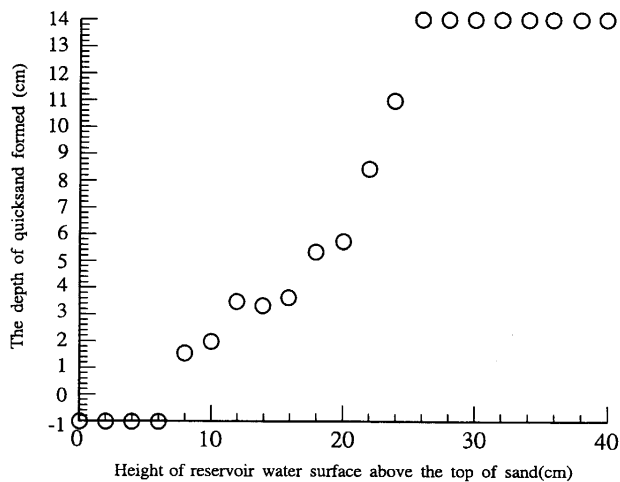


圖3：海沙所形成之流沙現象深度 h' 與水位差之關係圖

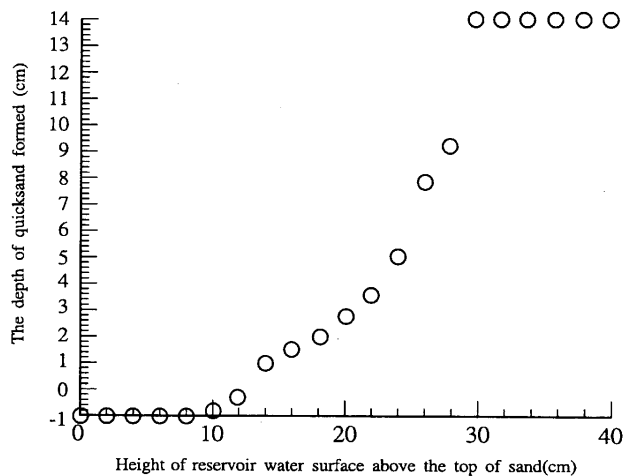


圖4：石英沙所形成之流沙現象深度 h' 與水位差之關係圖

5. 海沙：而當水位差逐漸增大時，則沙面擾動亦相對增大。當水位差 $h \geq 26$ 公分時，則沙體擾動浮至表面。

石英沙：而當水位差逐漸增大時，則沙面擾動亦相對增大。當水位差 $h \geq 30$ 公分時，則沙體擾動浮至表面。

6. 海沙：當水位差愈大，沙面擾動愈大。

石英沙：當水位差愈大，沙面擾動愈大。

六、結論與討論 [2, 3]

結論一：

流沙現象，一般而言，乃是沙體不能承載重量，物體因而下沉。此種自然界特殊現象，並非如一般所推測沙粒為圓狀，流沙現象乃是由於水流在沙體中之流動，造成有效應力為零而成。以下討論土壤之有效應力與蓄水池位置之關係，以解釋流沙現象。

(一) 當蓄水池水位與沙體等高時（如圖5）：

於A點以微觀觀之，則A點所受之總應力為

$$\rho = H * I_{sat}$$

(I_{sat} 為飽和水份之土壤比重， $I_{sat} = \frac{G_s + e}{1 + e} * I_w$ ，e為孔隙比)

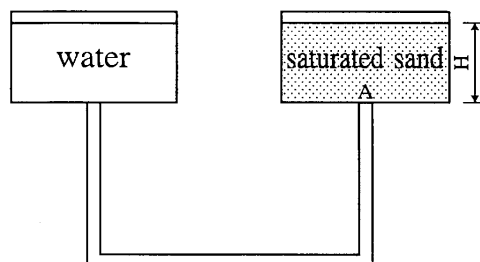


圖5：實驗裝置示意圖---蓄水池水位與沙體等高度

中和應力（孔隙壓力）為 $u = H * I_w$

有效應力（決定支配體積與剪力強度之力）為

$$\rho' = \rho - u = H * I_{sat} - H * I_w$$

上式中， I_w 為當時溫度下水之單位重，設為 $1 g/cm^3$ 。

又 $I_{sub} = I_{sat} - I_w$ ，

$$\therefore \rho' = H * I_{sub}$$

其中 I_{sub} 為土壤浸水密度。

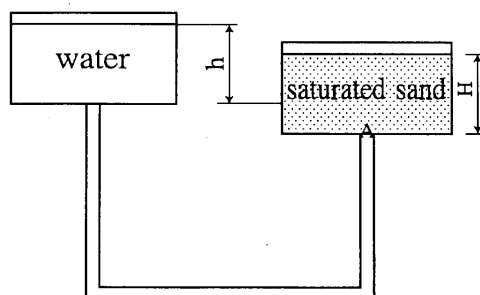


圖6：實驗裝置示意圖---蓄水池水位較沙體高 h

(二) 但當提高蓄水池水位(如圖6)：

A點之總應力為

$$\begin{aligned}\rho &= H^* I_{sat} \\ \text{但中和應力為} \quad u &= (H+h)^* I_w \\ \therefore \rho' &= \rho - u \\ &= H^* I_{sat} - H^* I_w - h^* I_w \\ &= H^* I_{sub}\end{aligned}$$

而流沙現象乃是A點之土粒不能載重，也就是有效應力 ρ' 為零。令

$$\begin{aligned}\rho' &= 0 \\ 0 &= H^* I_{sub} - h^* I_w \\ H^* I_{sub} &= h^* I_w \\ \text{令 } \frac{h}{H} &= i_c\end{aligned}$$

又 $I_{sub} = \frac{G_s - 1}{1 + e} * I_w$

$$\therefore i_c = \frac{h}{H} = \frac{I_{sub}}{I_w} = \frac{G_s - 1}{1 + e}$$

上式中， i_c 稱為臨界水力坡降。沙體之 I_{sub} 為一定值， H 為控制變數，故可求出黃沙之 $i_c = 0.91$ ；海沙之 $i_c = 0.63$ ；石英沙之 $i_c = 0.79$ 。當黃沙之高度 $H = 14$ 公分時，最小之應有水位為 $h = H^* i_c = 9.95$ 公分。當 $h \geq H^* i_c$ 時，則A點產生流沙現象，也就是說，此時水位差所產生之水流速度恰可迫使沙粒稍稍分開，使沙堆擴大，而沙粒部份由一層水墊支持，並不全是靠其它沙粒的支撐了。

結論二：

原理與結論一相同，將一點擴為平面即是。

由於(1)保龍龍質料柔軟脆弱，無法在上面鑽較多的孔；(2)保麗龍與箱壁無法完全緊密連接，水流往往從旁滲入；以及(3)裝沙後，保麗龍無法支撐住沙子重量等緣由，使得這項實驗說不上成功。

結論三：

由觀察三的結果可知：

1.由觀察三、四之結果得知，當水位差愈大時，沙體擾動愈大。但由圖2、圖3、圖4之比較，得知圖2之斜率較大於圖3之斜率。也就是，若以海沙為樣本，與黃沙相比較，則在相同的水位差下，海沙的擾動較大。若以石英沙為樣本，與海沙相比較，則在相同的水位差下，仍是海沙的擾動較大。海沙的劇烈流沙的擾動現象，可以『沸騰』形容。這是與先前的假設不符的。

原先，我們推測較大的水位差才能使海沙形成流沙，因為海沙的顆粒大於黃沙之顆粒。但由觀察四的結果看來，似乎流沙的形成與沙子顆粒大小並不是絕對有關聯的。此乃因為我們忽略了在黃沙中，含有一些黏土物質，而這些黏土物質的存在，使得沙體反較不易形成流沙現象。由海沙的比重 $G_s=2.01$ 相較於黃沙之比重 $G_s=2.43$ ，海沙為較疏散無黏性之沙體，故較易形成流沙現象。

由觀察四的圖16、圖17中，得知在同樣的水位差之下，以海沙及石英沙為實驗對象的結果是大略相同的。這是因為，海沙泰半是由石英組成的，且無黏土的成份，所以和純粹的石英沙相比，其所形成流沙現象之結果是大致一樣的。

而水力坡降 $ic = \frac{G_s - 1}{1 + e}$ ，可知流沙現象與沙體之關聯在於比重 G_s 與孔隙 e ，與顆粒大小並無絕對關係。

2.由水力坡降 $ic = \frac{G_s - 1}{1 + e}$ ，可推測知若 e 一定，而 G_s 愈大，則 ic 值愈大，表示須要較大的水位差以形成流沙。如圖21。

所以若 G_s 愈小，即沙體愈疏散，則愈容易形成流沙。而 G_s 則與沙體之孔隙比 e 、顆粒大小、組成成份、含水比等有密切的關聯，這也是值得再深入探討之處。除了海沙之外，我們曾嘗試以工業用沙（其篩孔徑為1~2公分）作為實驗材料，但發現顆粒大至一定程度，水流將直接由孔隙穿至沙層表面，不形成流沙現象。由於所取的實驗樣本太少，且沙體黏性不一，此次實驗不足以說明顆粒大小與流沙的關連。

4. 實驗誤差之原因：因實驗裝置只是利用身邊所能得之簡便工具予以組合的，故所得之數據為大略之值，其精確度不是很大。
5. 由於無精準的比重瓶等測量土壤單位重之儀器，故本次實驗土壤的比重與實際值差異甚巨，連帶著 ic 值也受了影響，願下回實驗，這點可以改進。

七、展望

由結論三之討論，知流沙現象與沙體中含黏土量之多寡有密切關係，這點應

用在土木工程學上或許是相當有意義的。除此外，流沙的形成，不只與水位差、顆粒大小、比重、孔隙比有關係。與箱底地形變化、出水口口徑大小等也有關聯。關於流沙之實驗，往後可以朝變化出水口口徑、箱底地形等方面再做實驗探討。而顆粒大小方面，可以採集更多的沙樣，再做更深入、廣泛的研究。

八、參考書籍

- (1)Max Gunther 原著：『地球的奧秘(p.179～p.181)』，讀者文摘遠東有限公司，1979。
- (2)Das,braja M.,Principles of Geotechnical Engineering(2nd ed.)，PWS-KENT Publishing Co.,1990。
- (3)劉賢淋編著：『土壤力學與基礎工程』，天佑出版，1996。

評語

以不同的砂質樣品，作水溼流動的實驗，以模擬流沙現象，頗具創意。除實驗過程以水壓調整作變因外，理論上亦作簡單計算，砂子流動與水壓高度的預測。因此理論與實驗皆稱完整。整體而言，主題創新，實驗與理論皆清楚明晰。